

また盛り上がってきた cosmic string

高橋慶太郎

京都大学基礎物理学研究所

2008年9月18日@中間発表会

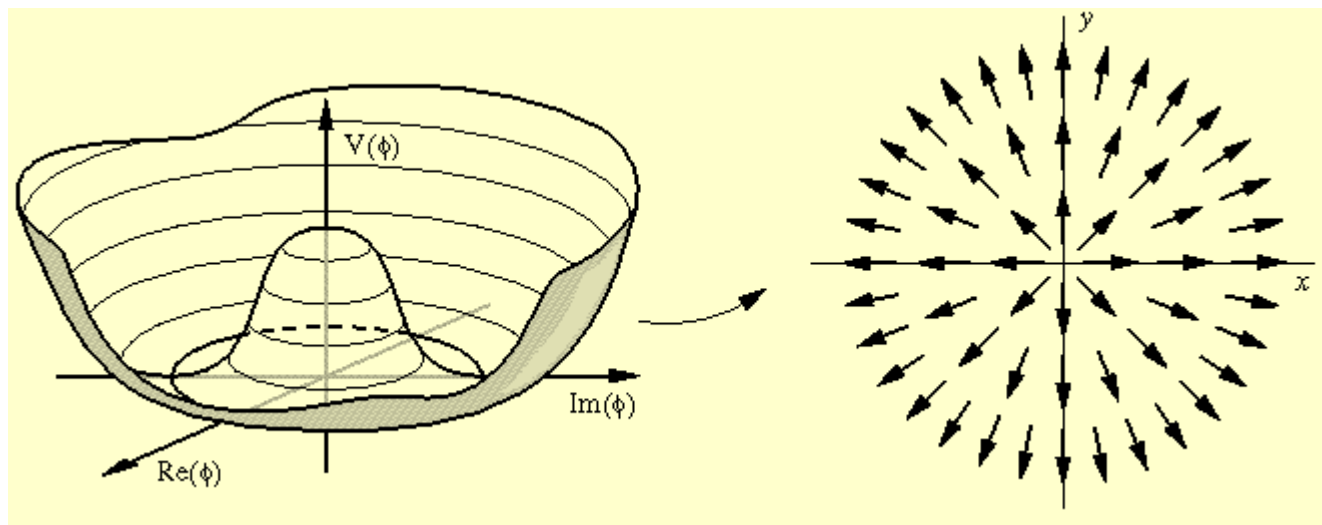
with 成子・山内・柳・仙洞田・佐々木

1、イントロダクション

cosmic string

宇宙の相転移のとき対称性が破れるとできることがある。

因果律 + 場の連続性 → 真空中に落ちられない場所
→ topological defect



cosmic stringは

μ = 線密度 = tension $\sim M_{\text{PT}}^2$

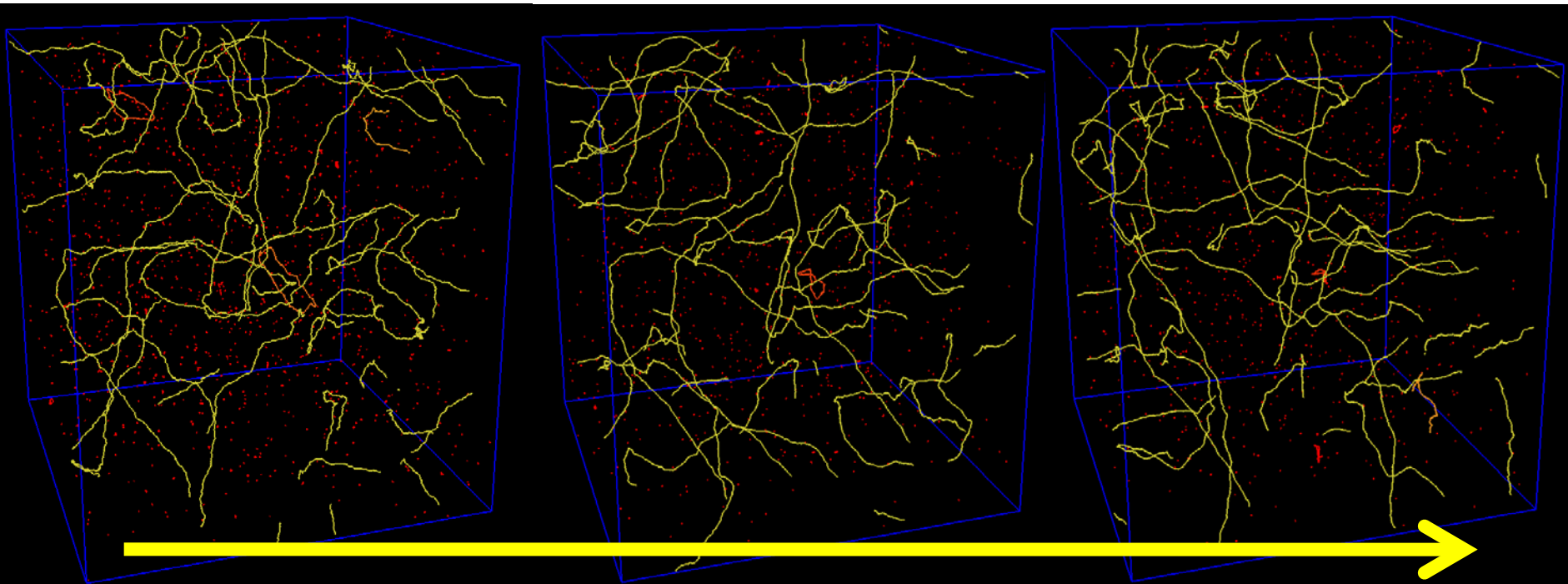
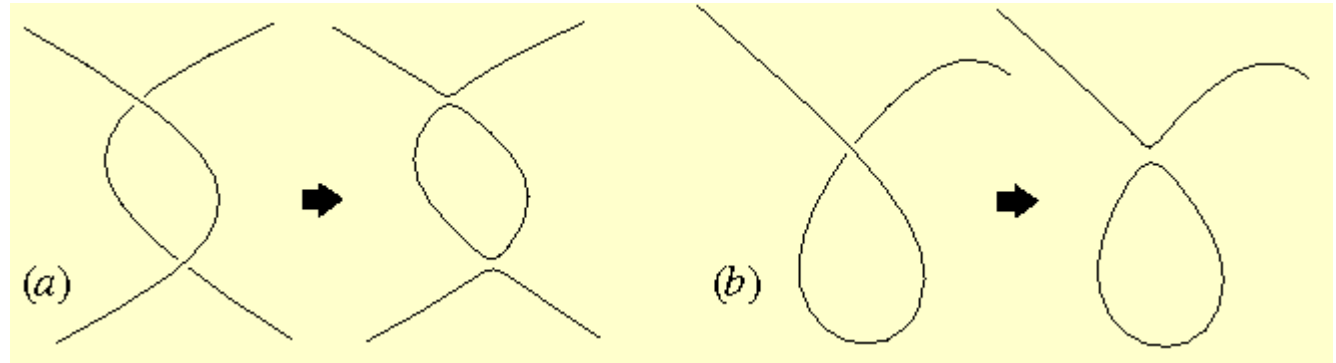
で特徴付けられる。GUTだと $G\mu \sim M_{\text{PT}}^2/M_{\text{PL}}^2 \sim 10^{-6}$

cosmic stringの宇宙論的効果の大きさは $G\mu$ で決まる。

cosmic string network

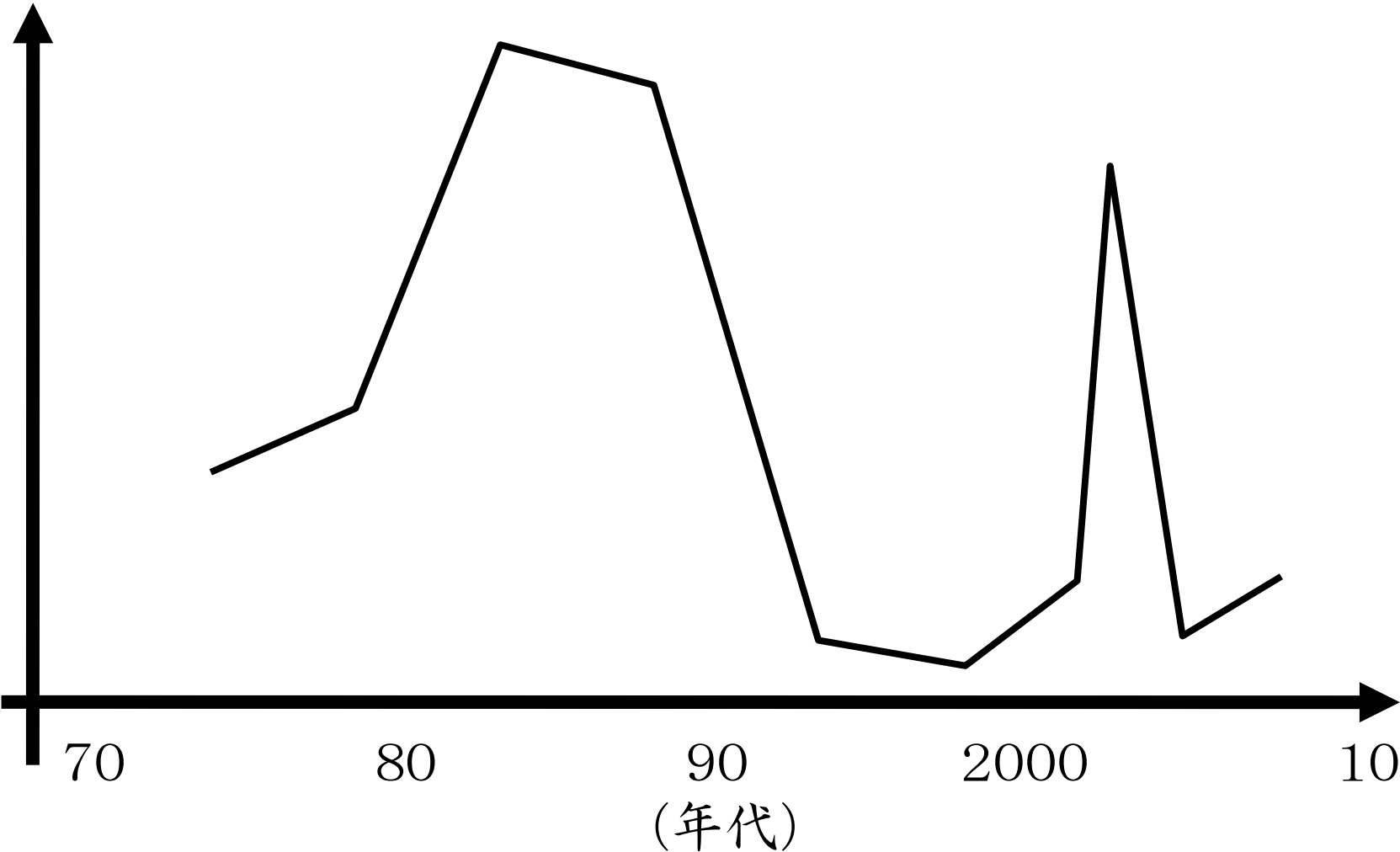
dynamics

- 波の伝播
- reconnection
→ loop形成

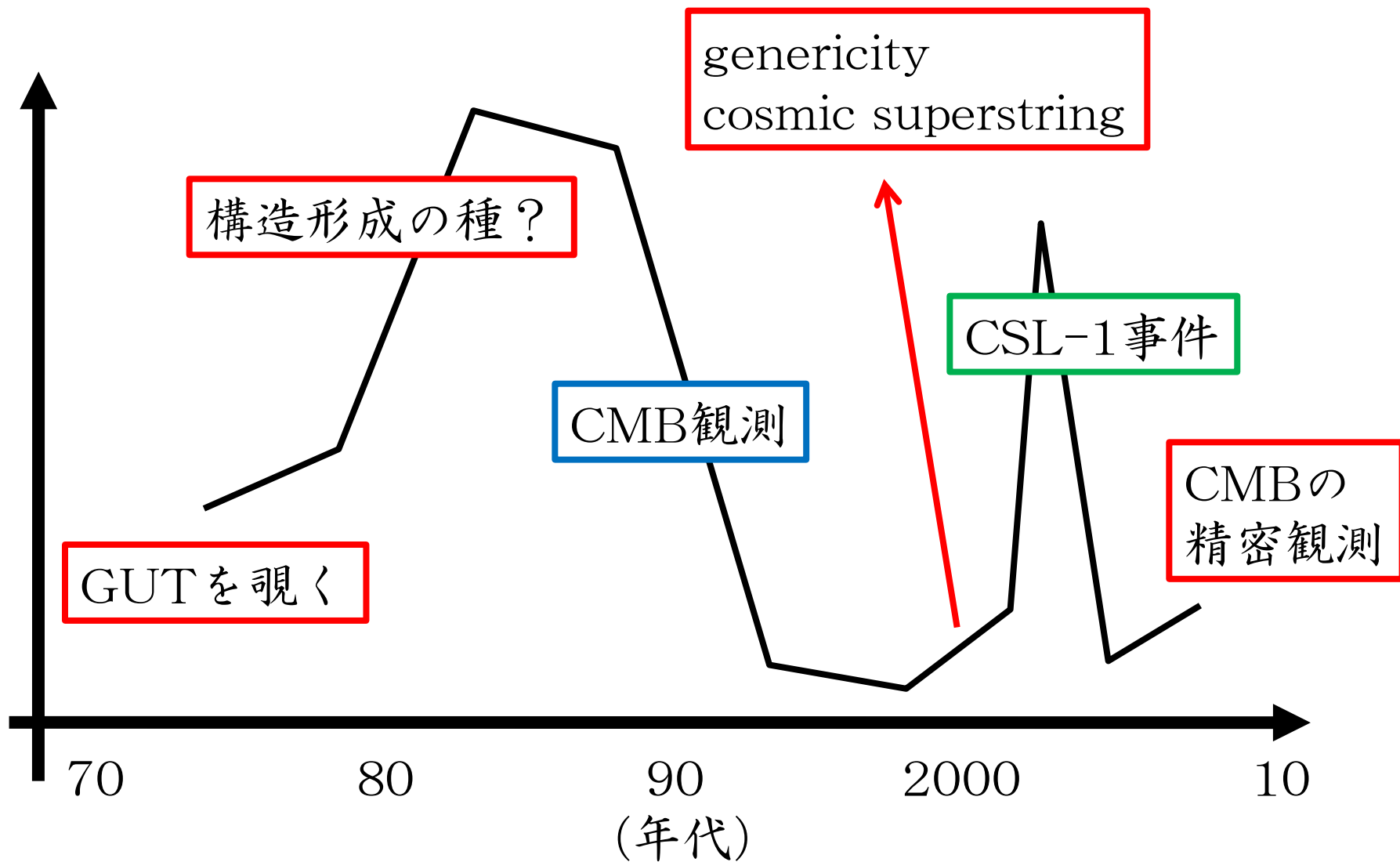


cosmic stringの栄枯盛衰

盛り上がり



cosmic stringの栄枯盛衰



cosmic stringによる構造形成

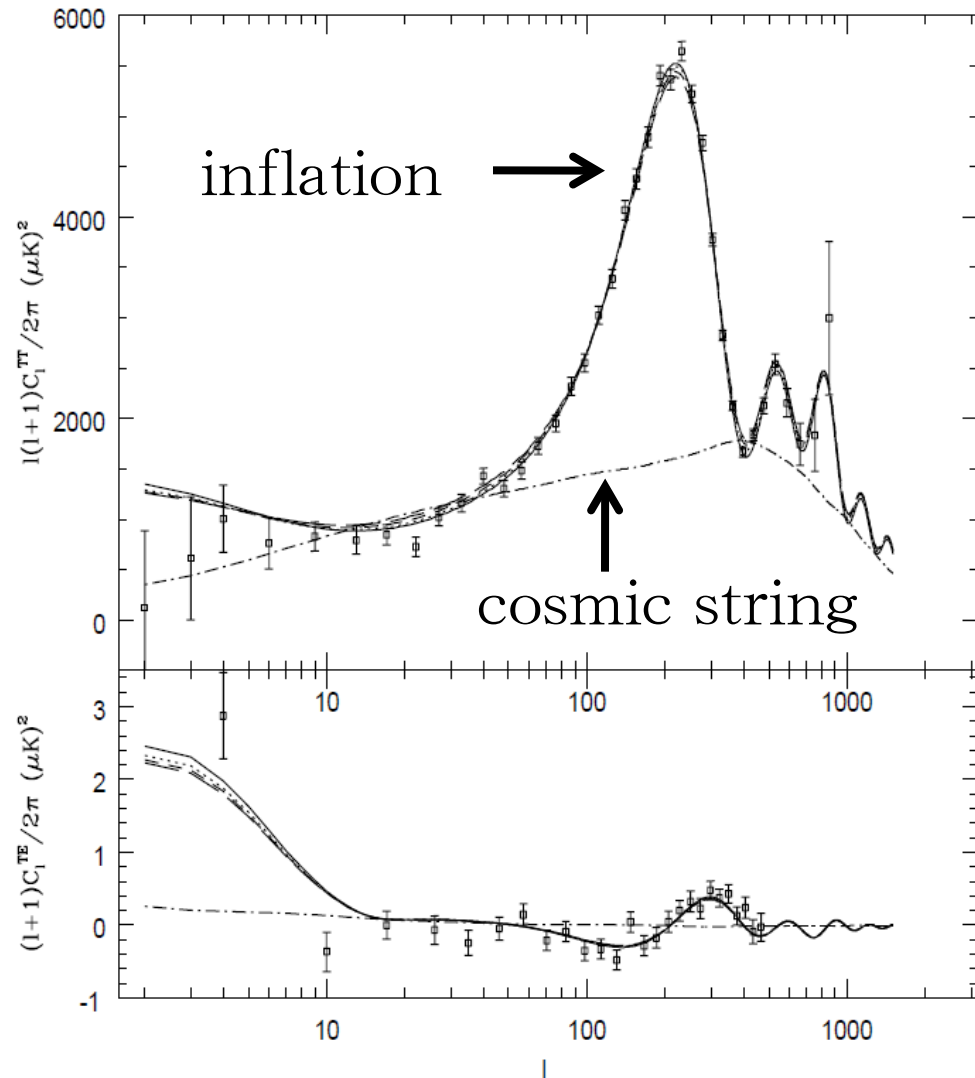
cosmic stringがぐちゃぐちゃ動くとプラズマにもゆらぎができる。

→ インフレーションの対抗馬として注目される

しかしCMBの観測によって否定される。

→ CMBゆらぎへの寄与は10%以下

パラメータが $G\mu$ しかなく、
予言能力があってきちんと
否定されたよいサイエンス

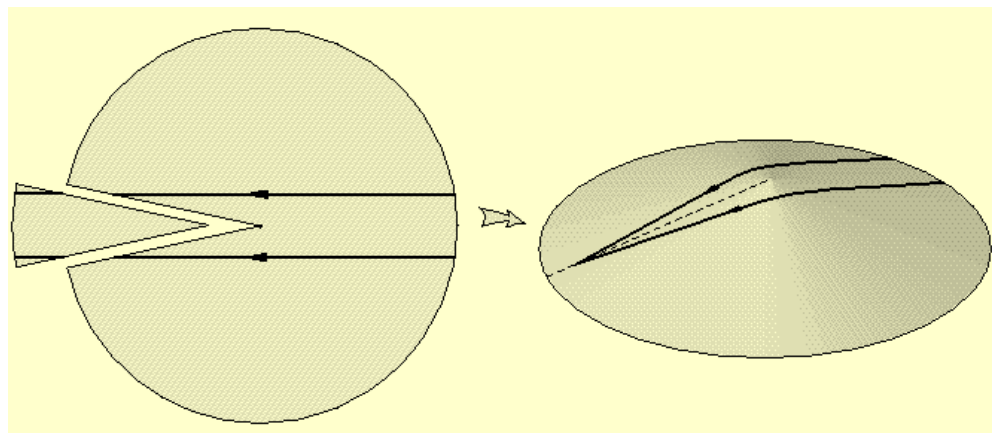


cosmic string探索

重力レンズ

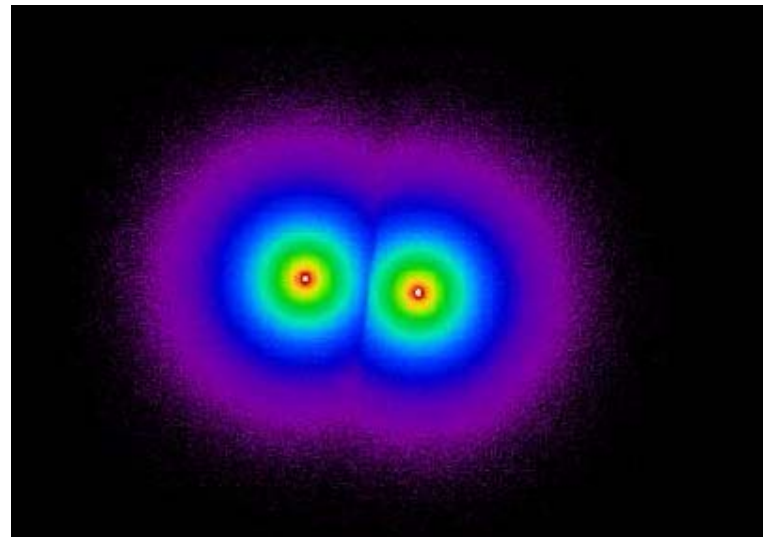
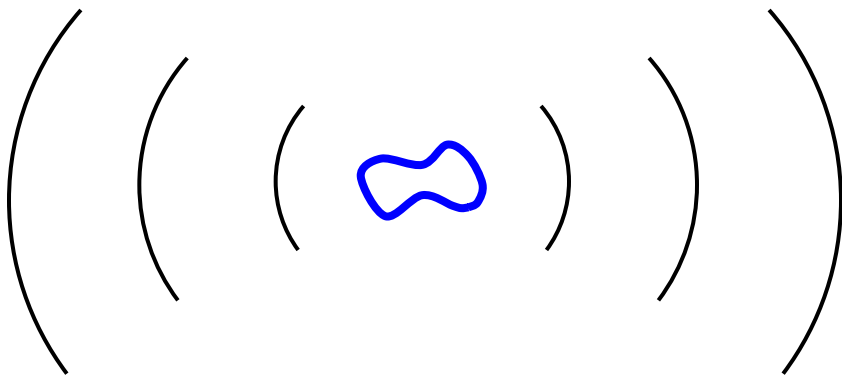
deficit angle

- 特徴的な重力レンズ
- 今のところ見つからない



重力波

- loopからよく放出される
- pulsar timingから制限



$$G\mu < 10^{-7}, \quad \Omega_{\text{CS}} < 0.01$$

最近の発展の背景

- genericity in GUT (Jeannerot et al., 2003)
インフレーションの後に相転移が起きると、だいたい
どういうゲージ群から出発しても cosmic string 生成は
避けられない。
- superstring
プランクスケールの cosmic string はすでに観測的に棄却。
ブレーンワールドモデルによって superstring のスケールが
もっと低くてもよくなった。
- CMB 観測
 - 小スケール
 - B モード
 - nonGaussianity

} μ が小さくてもこういうものは
cosmic string が dominant である
可能性がある

やりたいこと

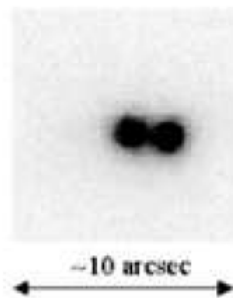
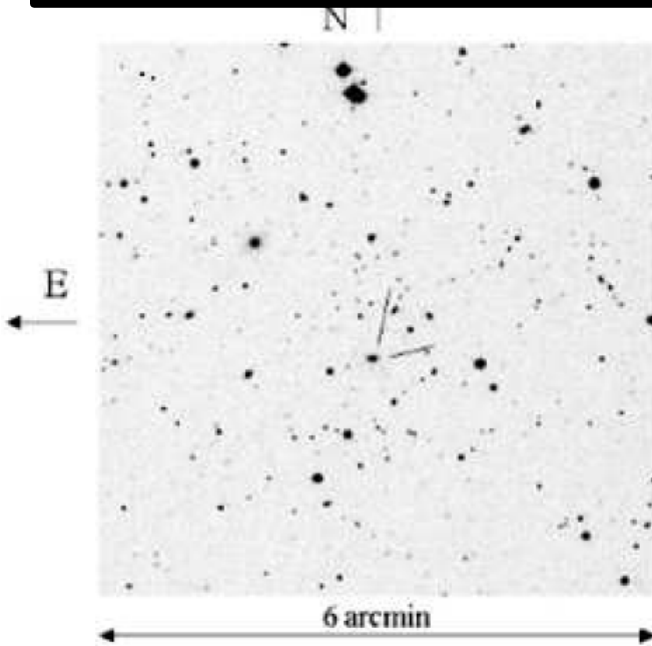
モチベーション

- ・ cosmic stringは構造形成の種としては働かないが、理論的にはどうもあるっぽいので探したい
- ・ 普通のcosmic stringとsuperstringを観測的に区別

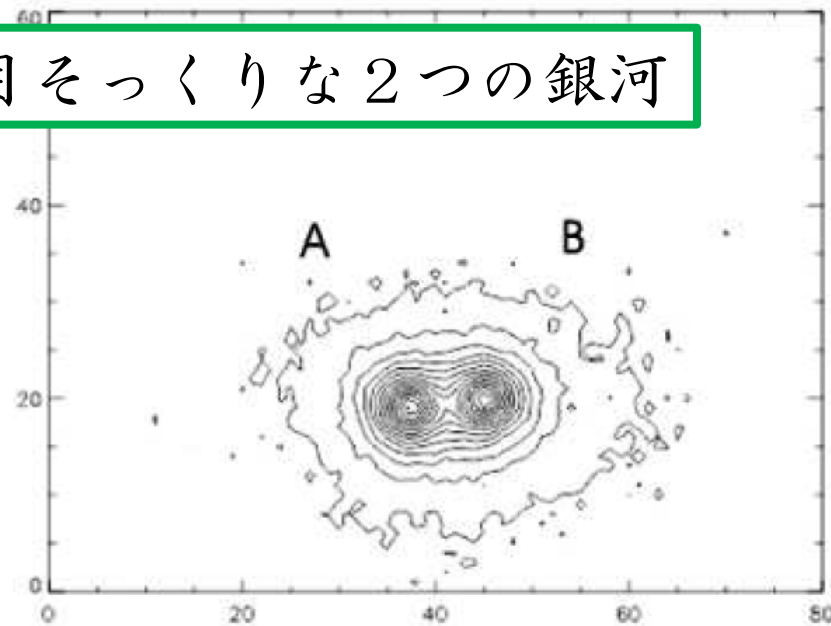
実際にやること

- ・ string networkの解析的モデル
- ・ CMBの小スケール温度ゆらぎの1点関数を計算、シミュレーションと比較
- ・ 後々は2点関数、3点関数、偏光、重力波、weak lensing、micro lensingなども

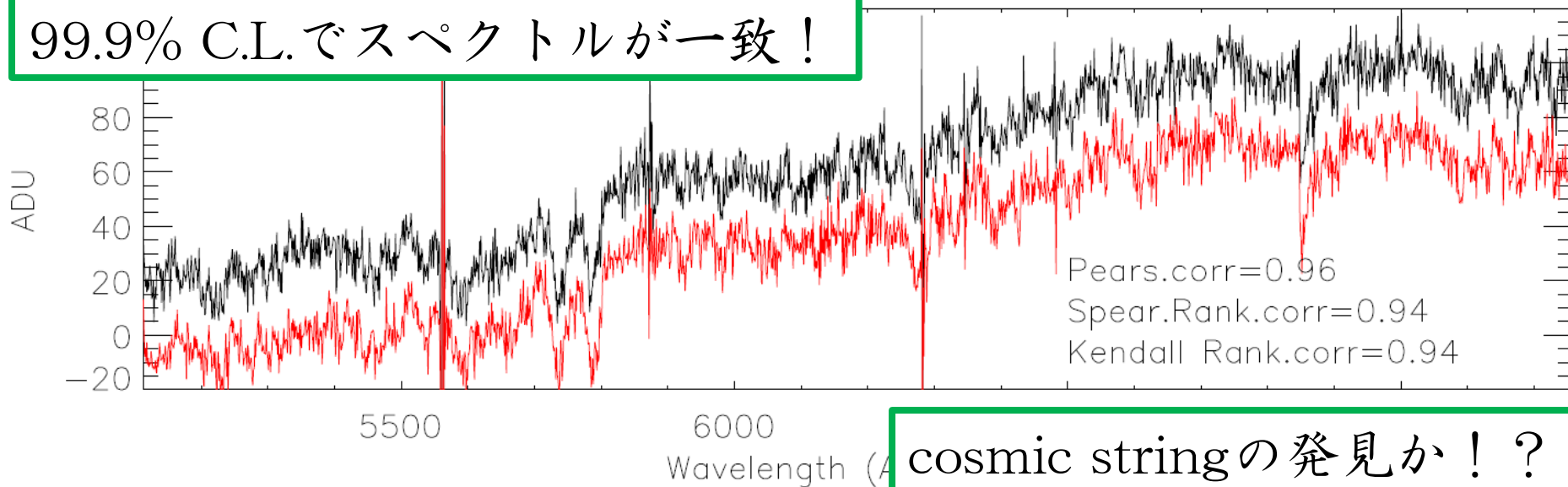
CSL-1事件 (Sazhin et al. 2003-2006)



見た目そっくりな2つの銀河



99.9% C.L.でスペクトルが一致！

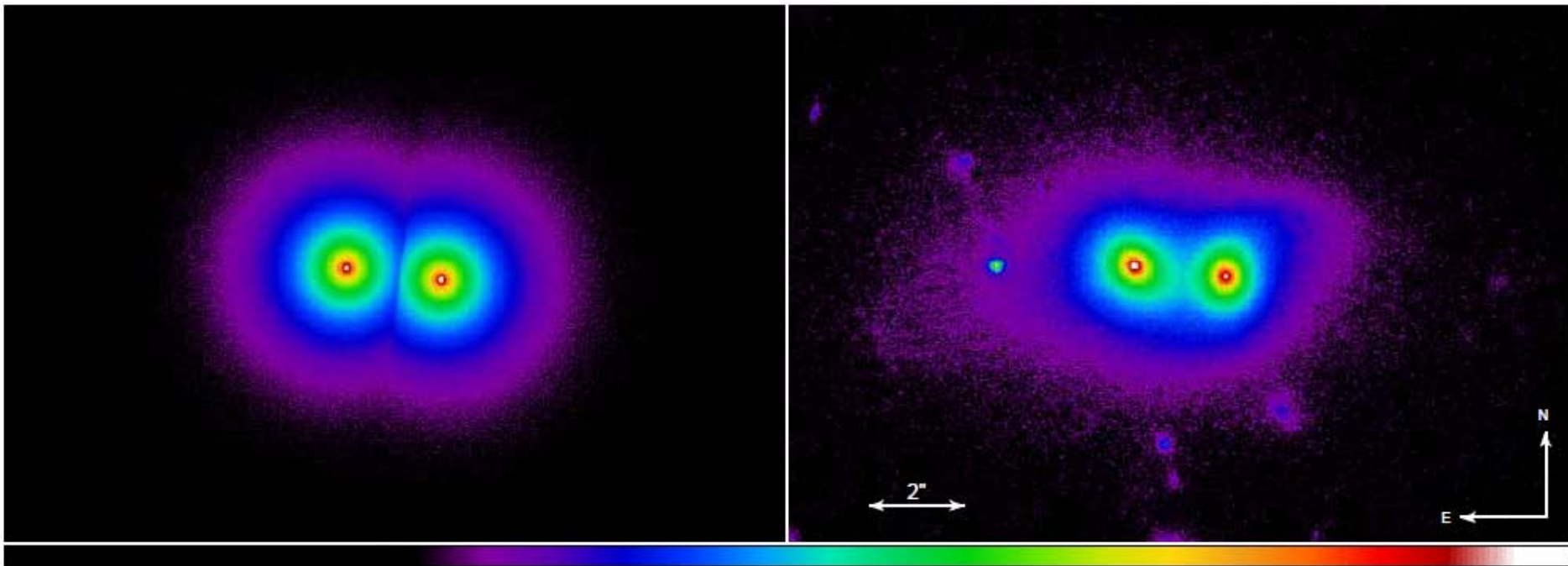


cosmic stringの発見か！？

CSL-1事件の結末

シミュレーション

HSTによる観測



よく似た銀河のbinaryでした・・・

2、cosmic string と cosmic superstring

cosmic stringの種類

field-theory string

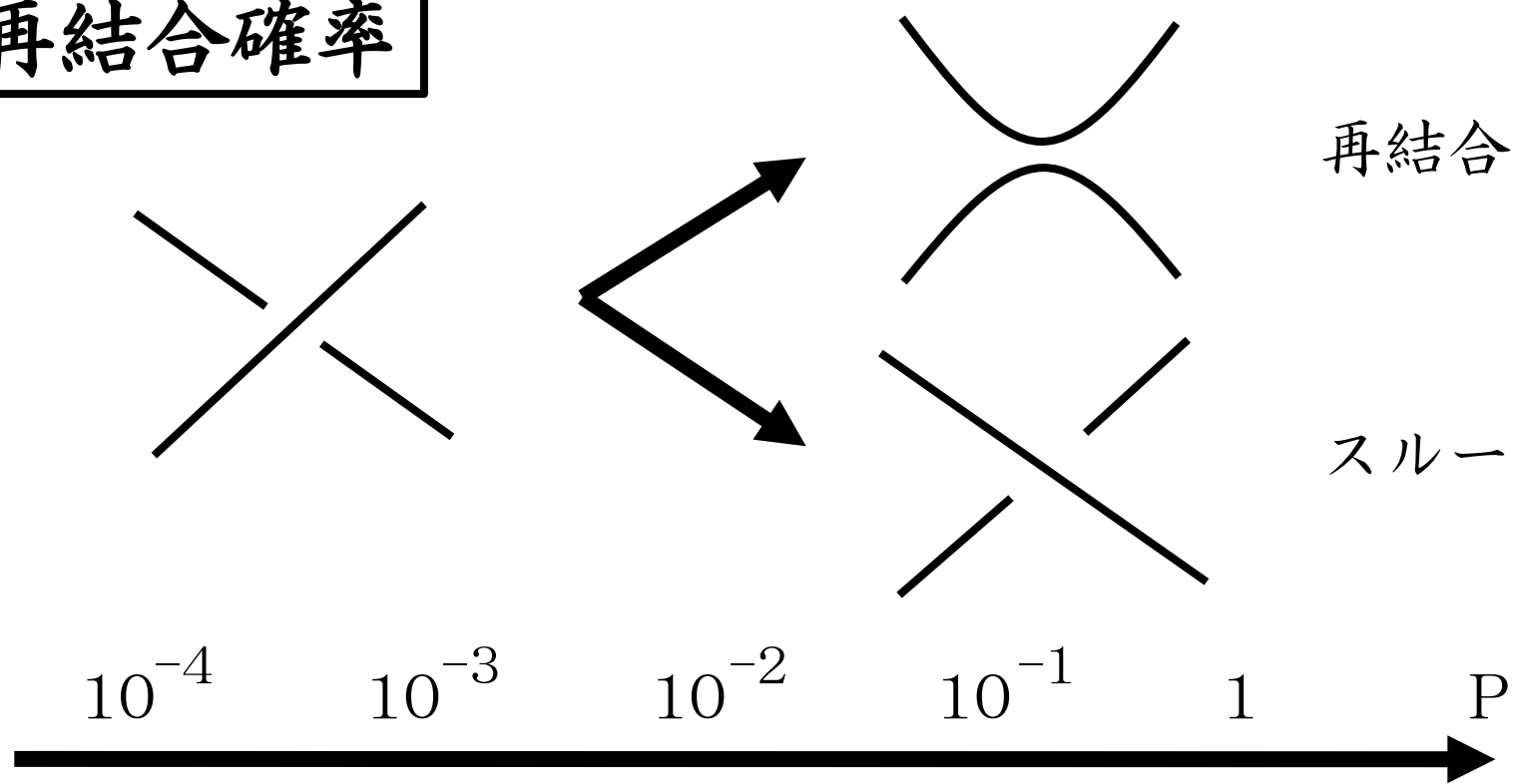
- 普通のcosmic string
- 相転移のときにできる
- μ は相転移のエネルギースケール

superstring

- F-string : いわゆる「超弦」
- D-string : D1-braneまたはDp-braneが丸まったもの
- brane inflationが終わる時にできる
- μ はモデルによる($G\mu = 10^{-11} \sim 10^{-6}$)
- 安定かどうかはモデルによる
- FとDの組み合わせもある

観測的には「再結合確率」を通して区別できる
(組み合わせネットワークは複雑なので今は無視)

再結合確率



F-string

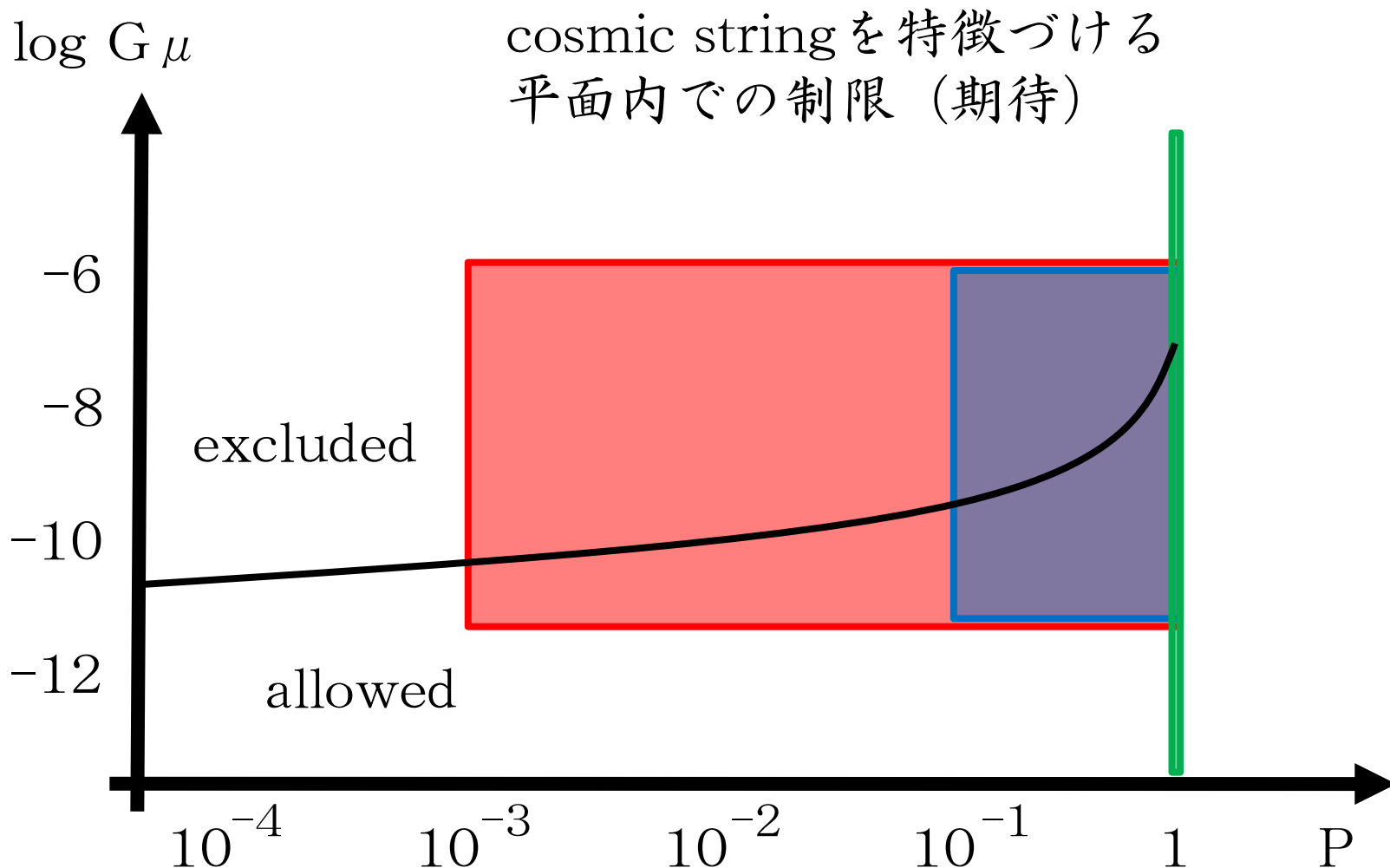
D-string

field-theory string

superstringでは一般に $P < 1$

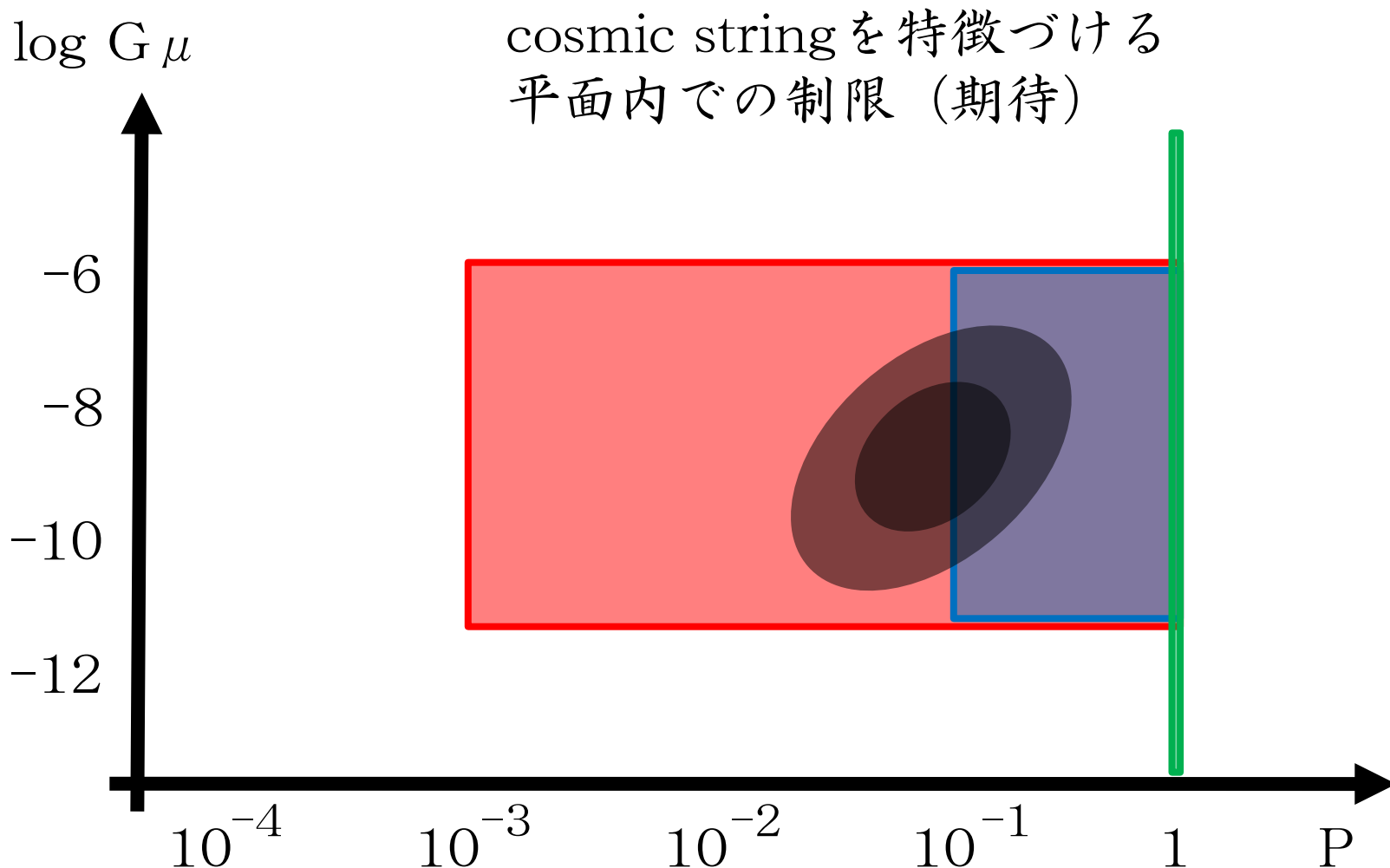
- string couplingの強さ
- extradimensionの効果

cosmic stringへの制限



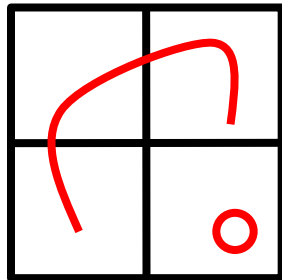
再結合確率にはどのような観測的影響があるか

cosmic stringへの制限



再結合確率にはどのような観測的影響があるか

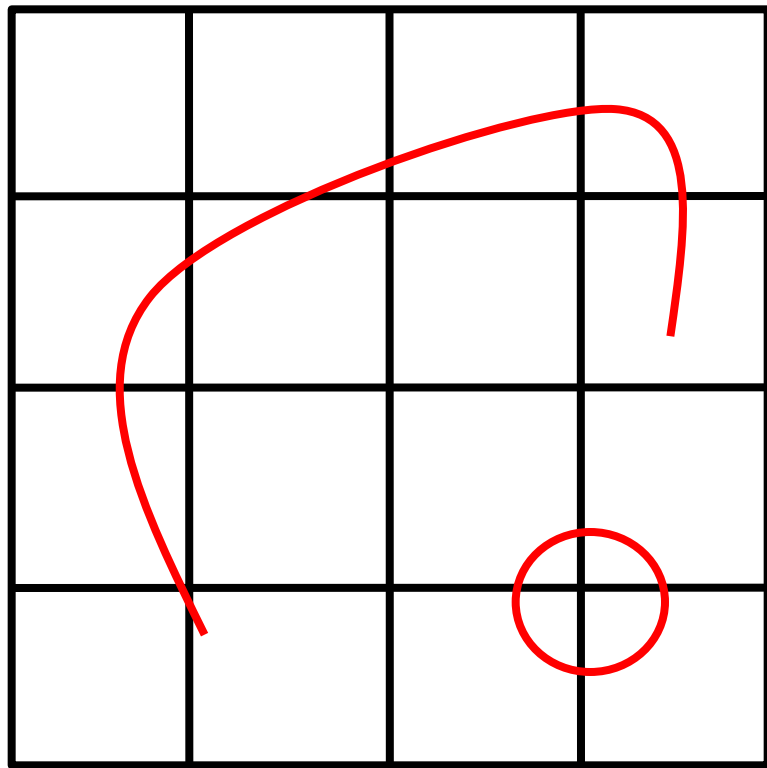
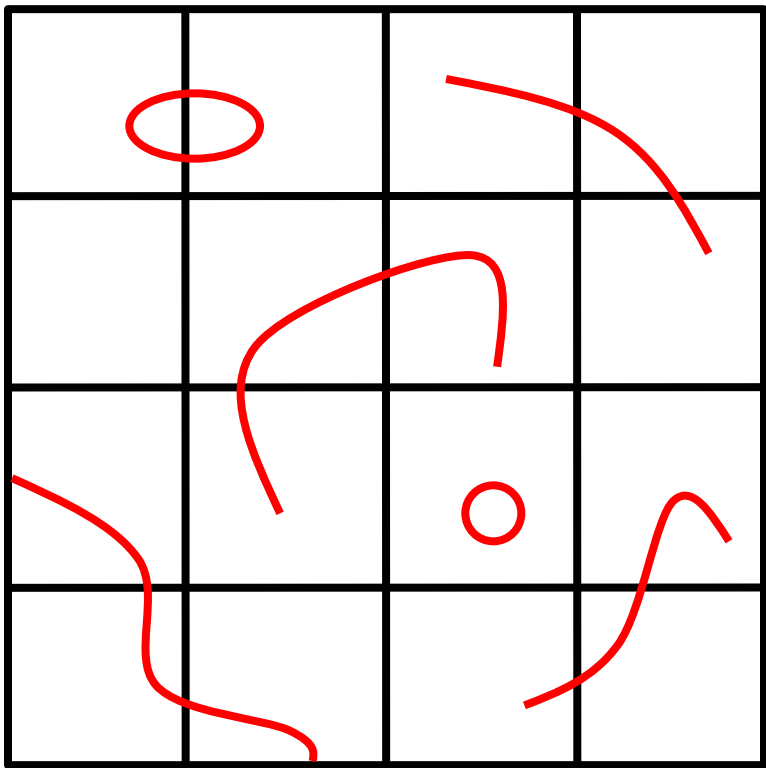
networkの進化



comoving
evolution



scaling
evolution



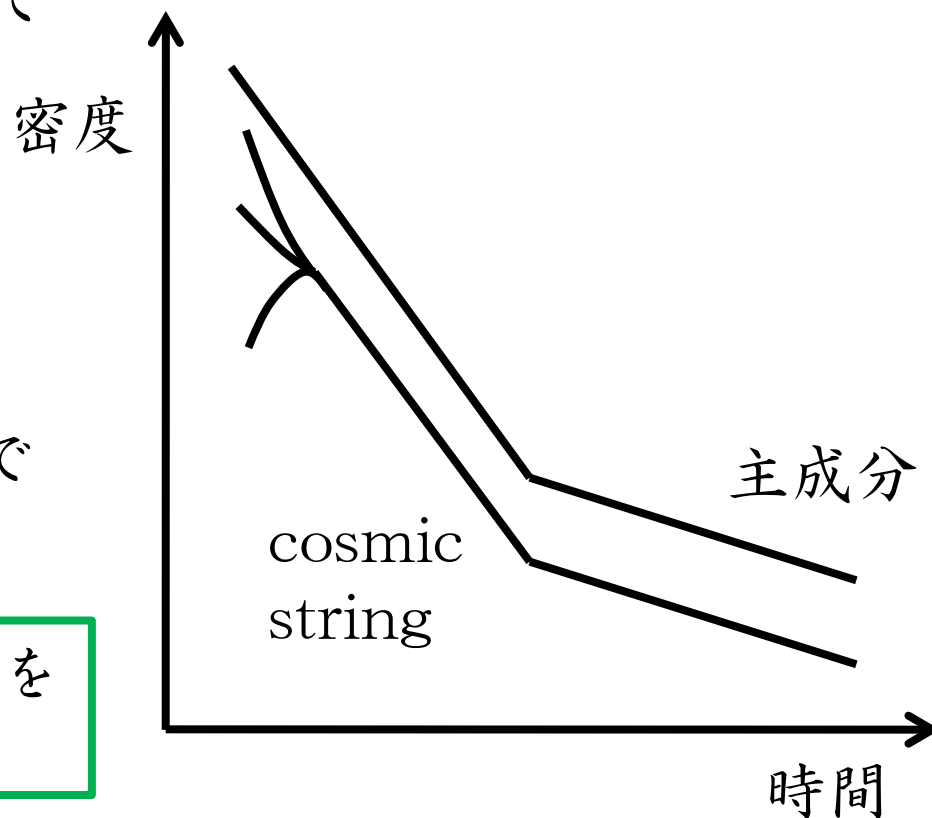
スケーリング

スケーリングする、というのがだいたいのシミュレーションや解析的モデルの答え

「horizon内にhorizonくらいの相関長を持ったstringが数本」

- ・ 長いstringは衝突によって次々とloopを生成
- ・ loopは重力波などを放出してすぐにdecay
- ・ 初期条件によらず attractorに落ち着く
- ・ 全てがhorizonスケールで特徴付けられる

この振る舞いがcosmic stringを面白くしている。



再結合確率の影響

スケーリングするためには
どんどんループを作って
エネルギーを捨てなければ
ならない。

再結合確率低い

→ ループできにくい

→ 平衡点でストリング多い

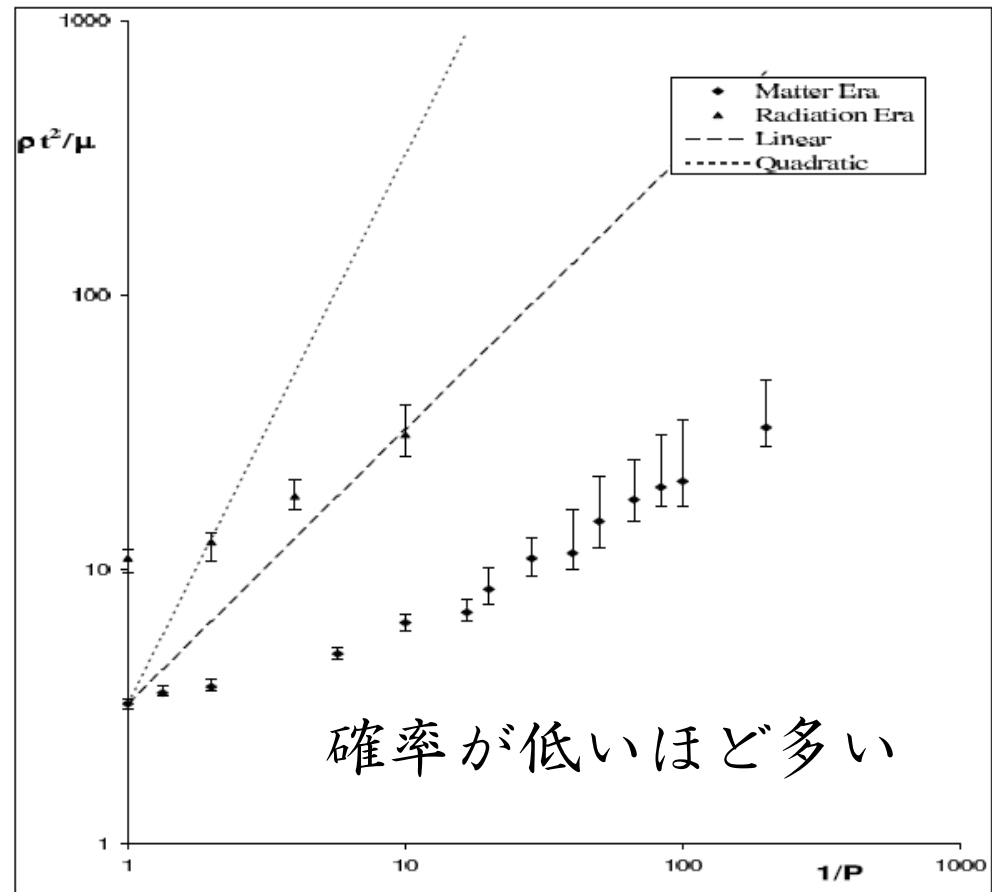
$P \rightarrow$ horizon内の本数

$\mu \rightarrow$ 1本の重さ

観測的に P と μ に制限。

(ただしシミュレーションも
解析的モデルもあまり収束
していない。)

スケーリングに到達したとき
horizon内に何本あるか？



Avgoustidis & Shellard, 2005

まとめ

cosmic stringの種類：field, F, D

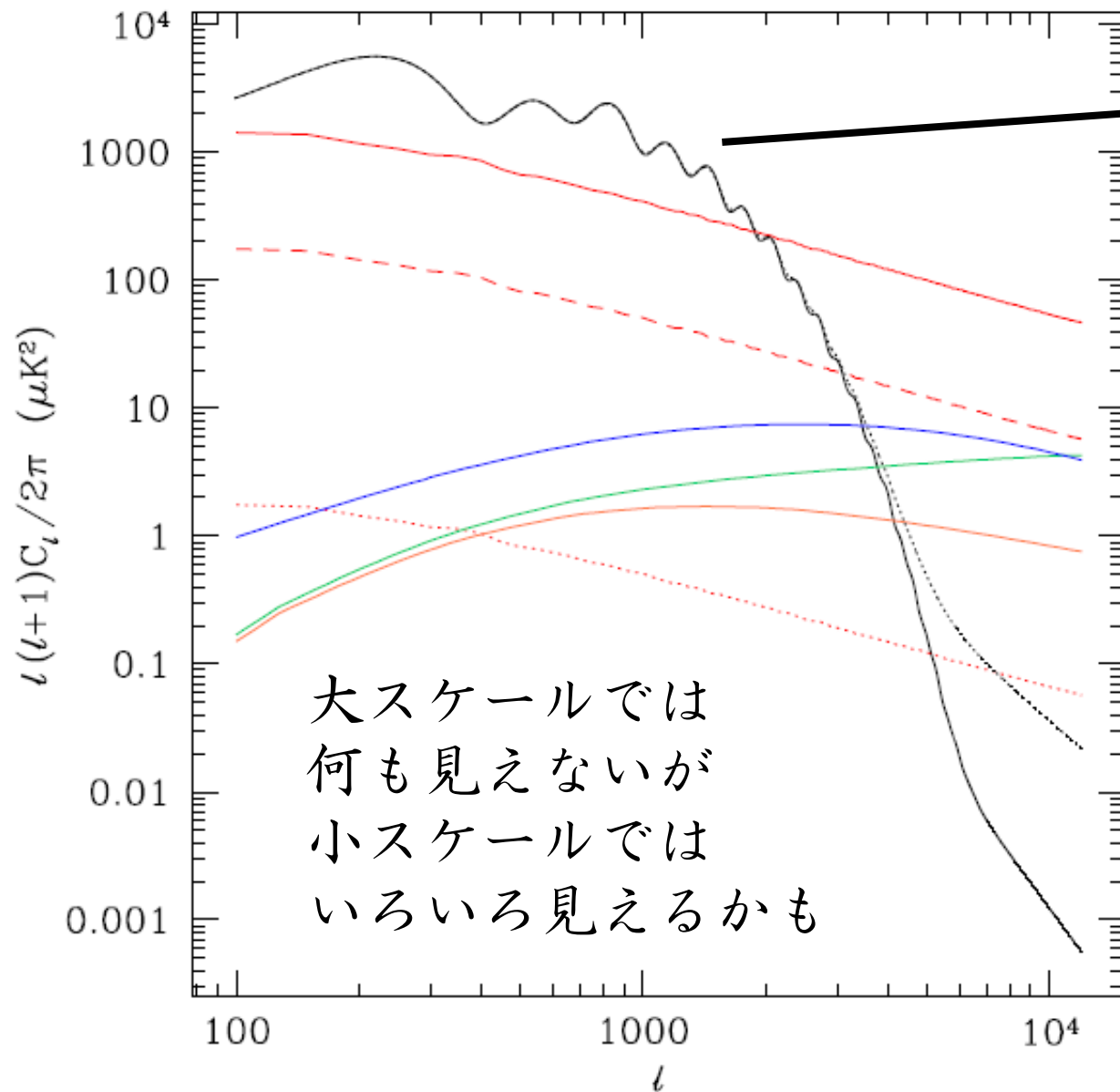
- ・ μ と P で cosmic string を特徴づける
- ・ P から一意に決めることはできないが、
1より有意に小さかったらsuperstring！

ネットワーク

- ・ 初期条件によらず、ある状態に落ち着く
- ・ 落ち着く先は P に依存する
→ P により予言が異なる (CMB・重力波)

3 、 cosmic string と CMB

CMBスペクトル



primary
小スケールで
シルク減衰

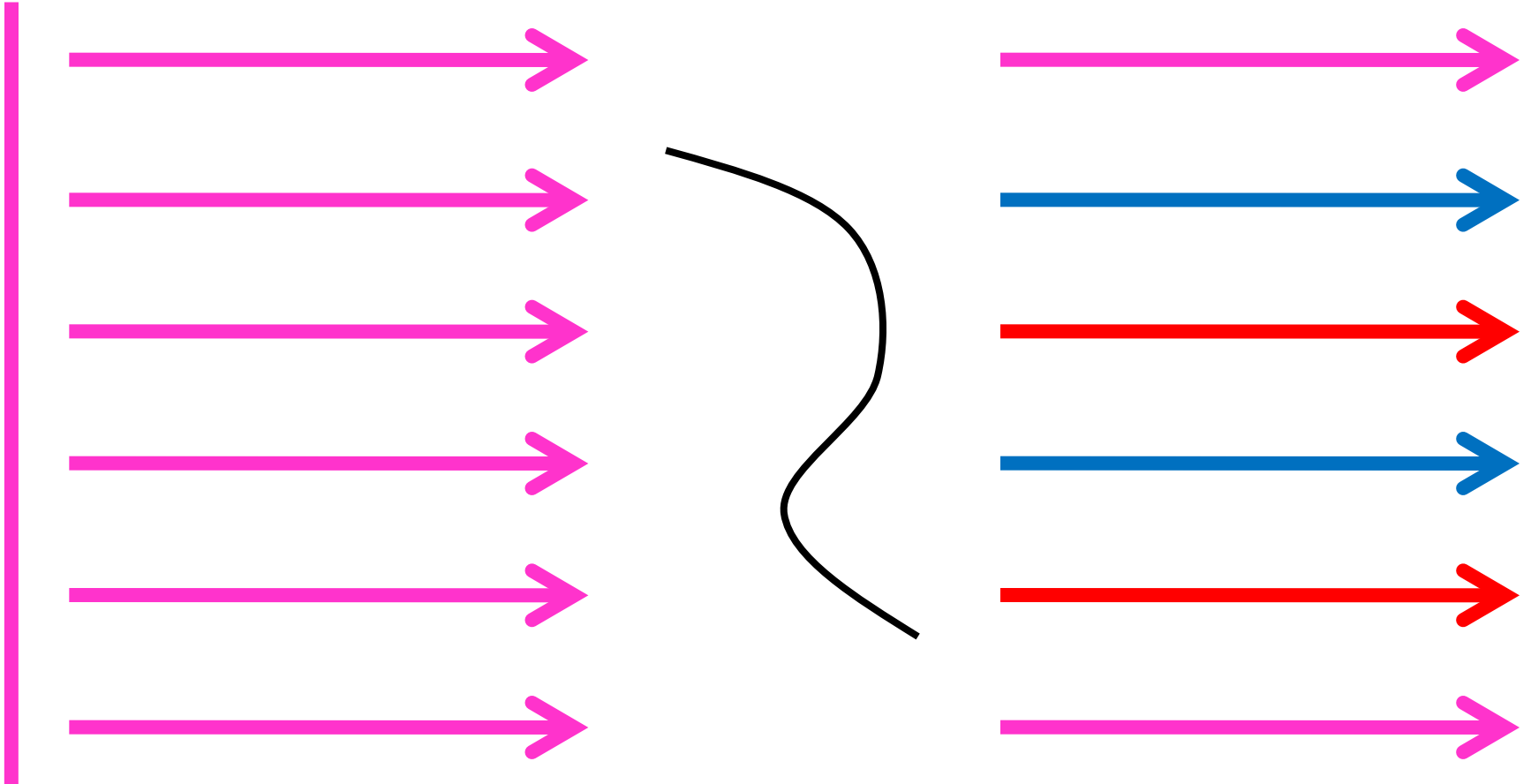
secondary

- cosmic string
- SZ
- OV

小スケール：
等方な放射が
何かを通過して
できる。

イメージ

等方な放射がcosmic stringの近くを通ると温度が変わる

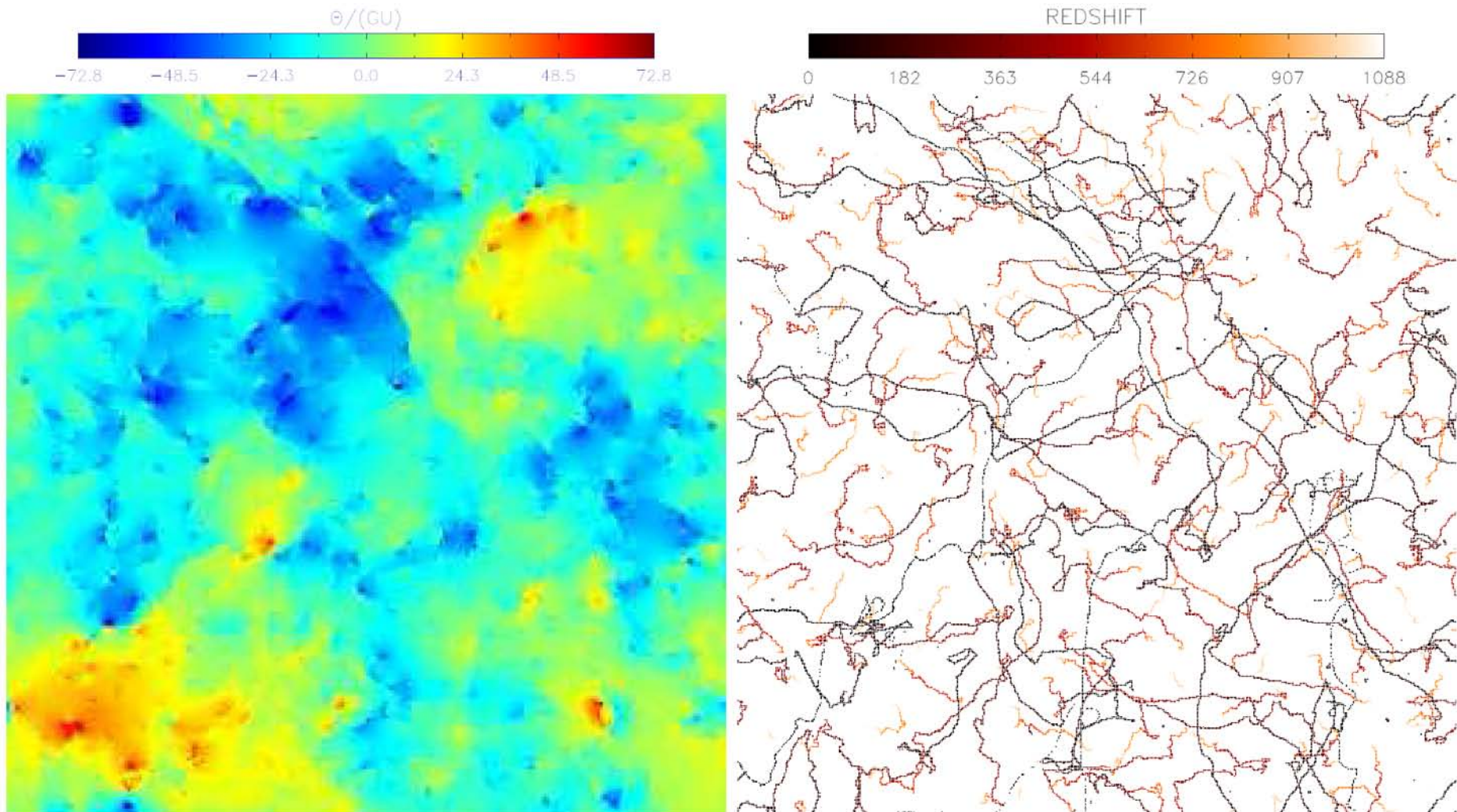


小スケールではsecondaryのISWだけ考えればよい
(プラズマの運動を考えなくてよい)

シミュレーション

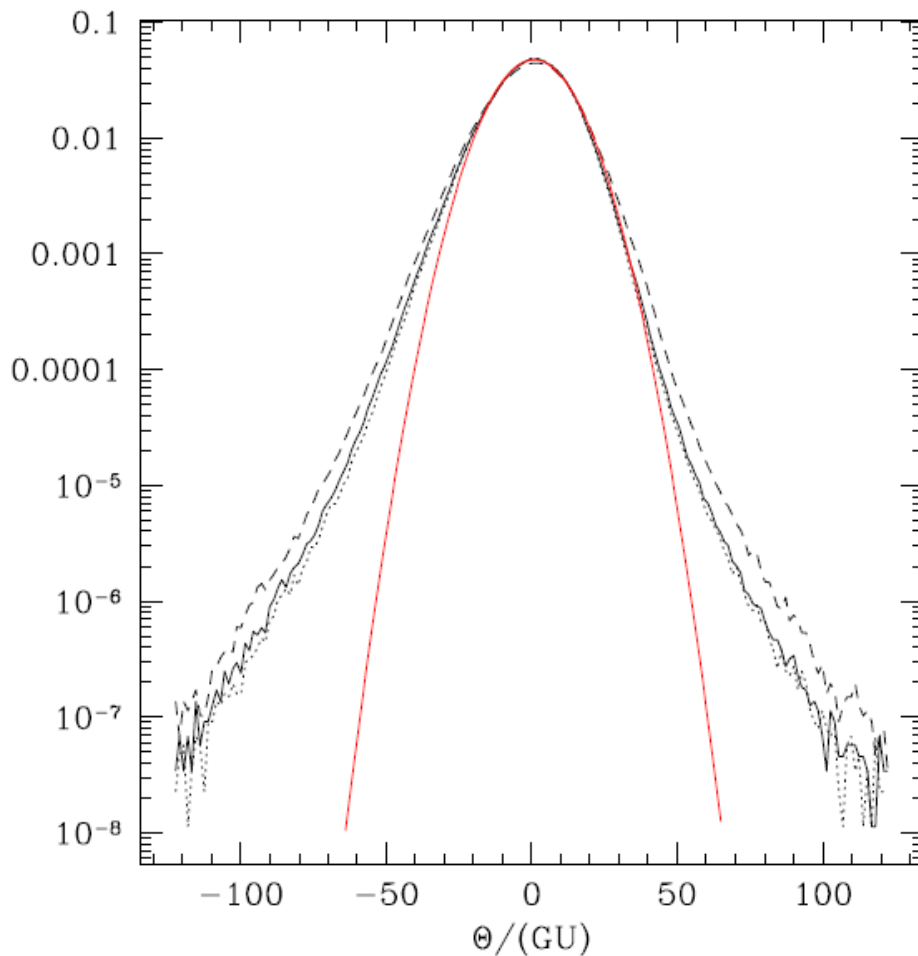
Fraisse et al. (2008)によるシミュレーション

Nambu-Goto stringのdynamics (P=1) → 光子を伝播



1 点関数

シミュレーションで得られた温度の 1 点関数
解像度 $0.42'$ (とんでもなく細かい)



シミュレーション

推奨

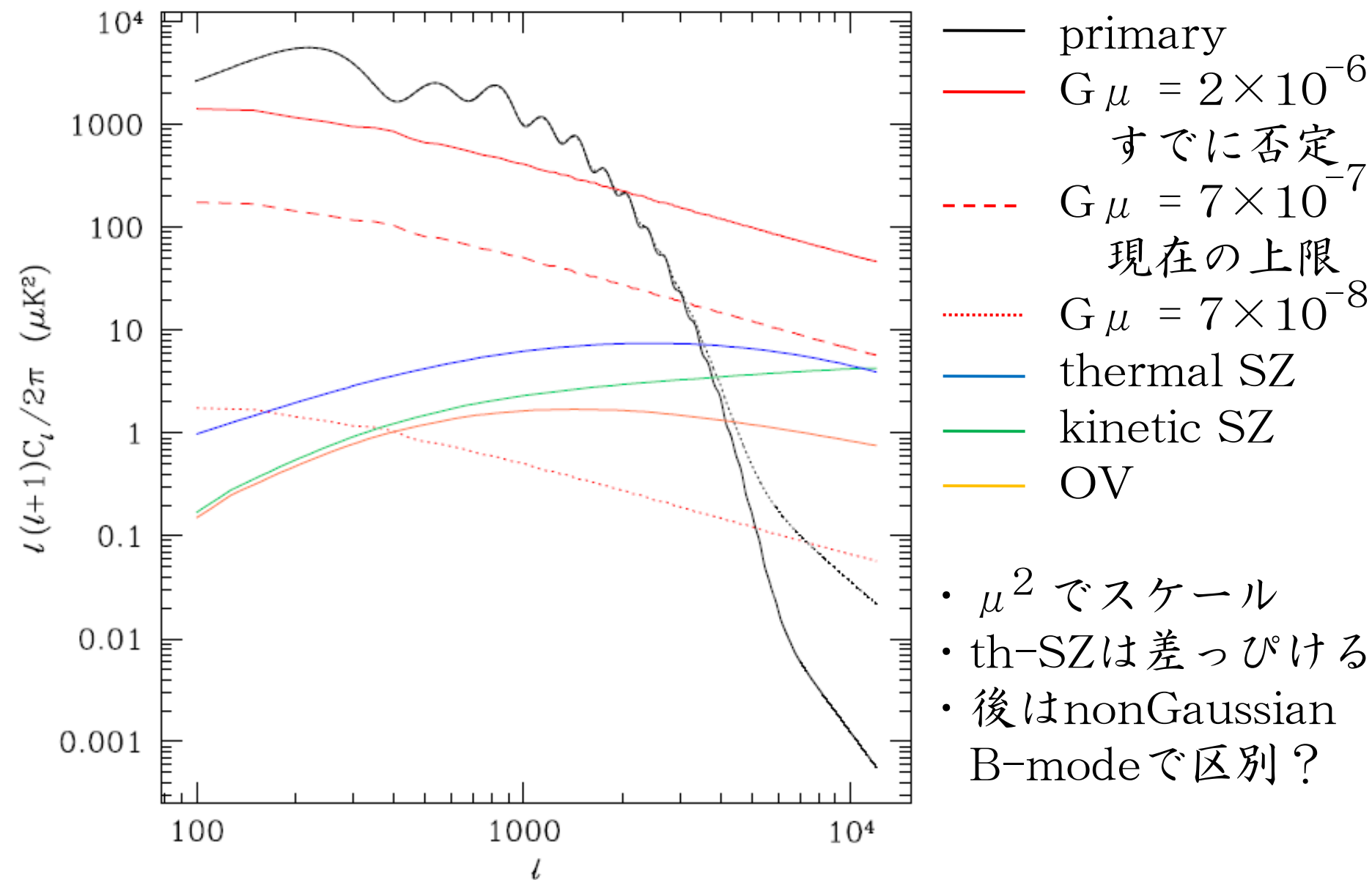
loop全部入り

loopなし

Gaussian fit

- ゆらぎが小さいところでは Gaussian でよく合う
- ゆらぎが大きいところで nonGaussian tail がある
- negative skewness
- loop はあまり寄与しない
- nonGaussian は kink?

2点関数



まとめ

CMBとcosmic string

- ・ primaryは小スケールで減衰
- ・ 小スケールではISWだけ考えればよい
- ・ 1点関数でnonGaussian tailがある
- ・ μ が上限近くなら2点関数はdominant

シミュレーションの問題点

- ・ dynamical range, resolution
- ・ 1つのモデルに対して多数回試行
- ・ 再結合確率依存性

→ 解析的なモデルを作って再結合確率依存性を見たい

4、CMBゆらぎの 再結合確率依存性

やること

簡単な解析的モデルでCMBの1点関数を計算する。

- ・ネットワークのモデル化
 - 既成のスケーリングモデルの拡張
 - シミュレーションとよく合う ($P < 1$ も含めて)
- ・CMBゆらぎのモデル化
 - オリジナル
 - まず $P = 1$ で Fraisse et al. と合うかどうか見る
 - 合えば $P < 1$ に拡張
 - 1点関数の P 依存性がわかる

ネットワークの解析的モデル

次のように簡単化してモデル化

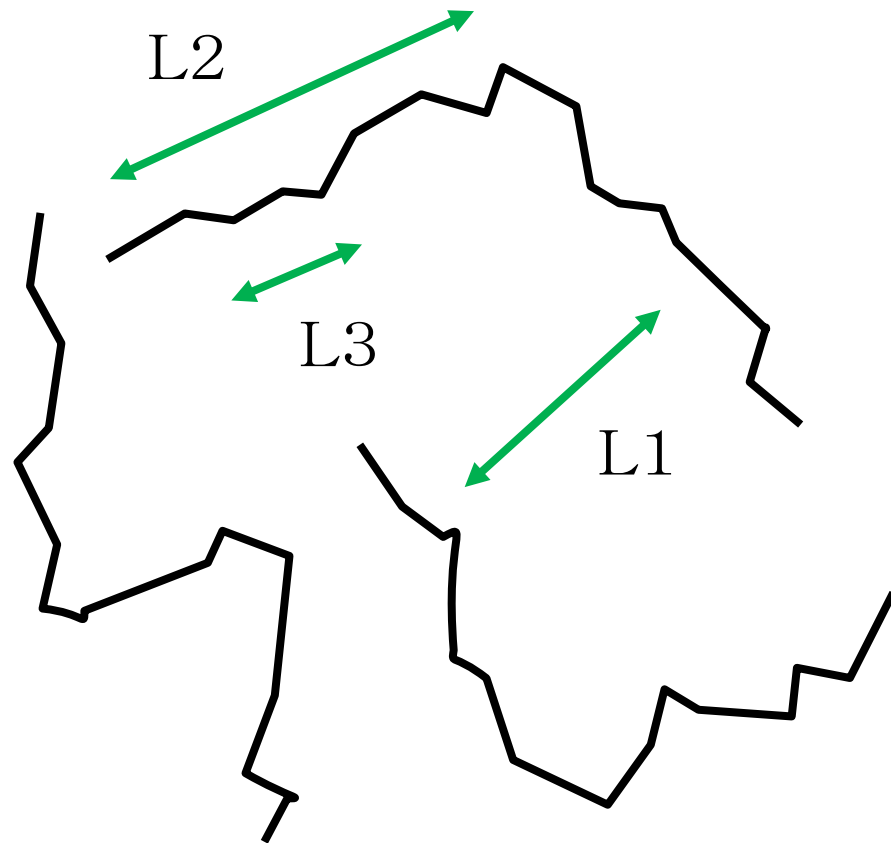
- ・ 真っ直ぐなsegmentだけ
- ・ つながりは無視
- ・ loopはすぐdecay (無視)
- ・ L1: segment間の平均距離
- ・ L2: segmentの長さ
- ・ L3: kink間の平均距離
- ・ v : segmentの平均速度

→ velocity-three scale model

これらを時間の関数として
発展方程式を立てて解く

シミュレーションでは

$$L1 \sim L2 \sim 1/H \gg L3, v \sim 0.5$$



発展方程式の雰囲気①

いろいろな量が L_1, L_2, L_3 で表される

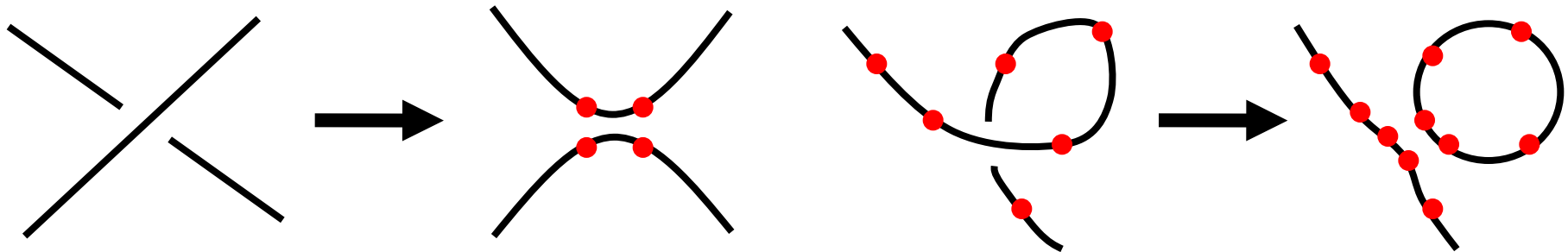
$$n_{\text{CS}} = \frac{1}{L_1^3}, \quad N_{\text{CS}} = \frac{1}{H^3 L_1^3}, \quad \rho_{\text{CS}} = \frac{\mu L_2}{L_1^3}, \quad N_{\text{kink}} = \frac{1}{H^3 L_1^3} \frac{L_2}{L_3}$$

segmentのエネルギー密度の発展方程式

$$\frac{d\rho_{\text{CS}}}{dt} = (\text{宇宙膨張で薄まる}) + (\text{loop形成で減る})$$

kink数の発展方程式

$$\frac{dN_{\text{kink}}}{dt} = (\text{宇宙膨張で薄まる}) + (\text{loop形成で増減}) \\ + (\text{重力波放出で減る})$$



発展方程式の雰囲気②

segmentのエネルギー密度の発展方程式

$$\frac{d\rho_{\text{CS}}}{dt} = -2H\rho_{\text{CS}} - C \frac{v}{L_1} \rho_{\text{CS}}$$

kink数の発展方程式

$$\frac{dN_{\text{kink}}}{dt} = \left(2 - \alpha \frac{L_2}{L_3}\right) \frac{v}{L_1} \frac{1}{H^3 L_1^3} - \frac{1}{\tau_{\text{GW}}} N_{\text{kink}} \quad \tau_{\text{GW}} = \Gamma \frac{L_3}{G\mu}$$

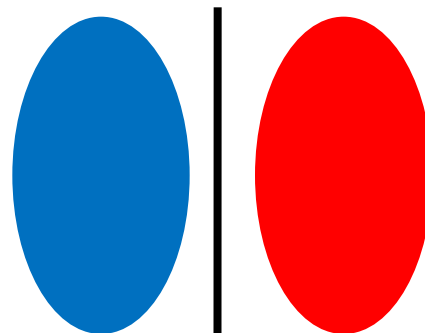
これを解くと N_{CS} や N_{kink} などが定数に近づくのがわかる。
 C , α , Γ などを調節してシミュレーションに合わせる。

$$N_{\text{CS}} \sim 5, N_{\text{kink}} \sim 100$$

温度ゆらぎ

segment周りの温度ゆらぎ

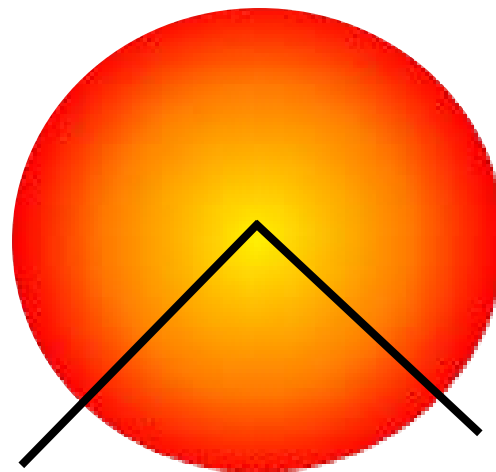
$$\Delta_{\text{CS}} = 4\pi \frac{v}{\sqrt{1-v^2}} \alpha G \mu$$



kink周りの温度ゆらぎ

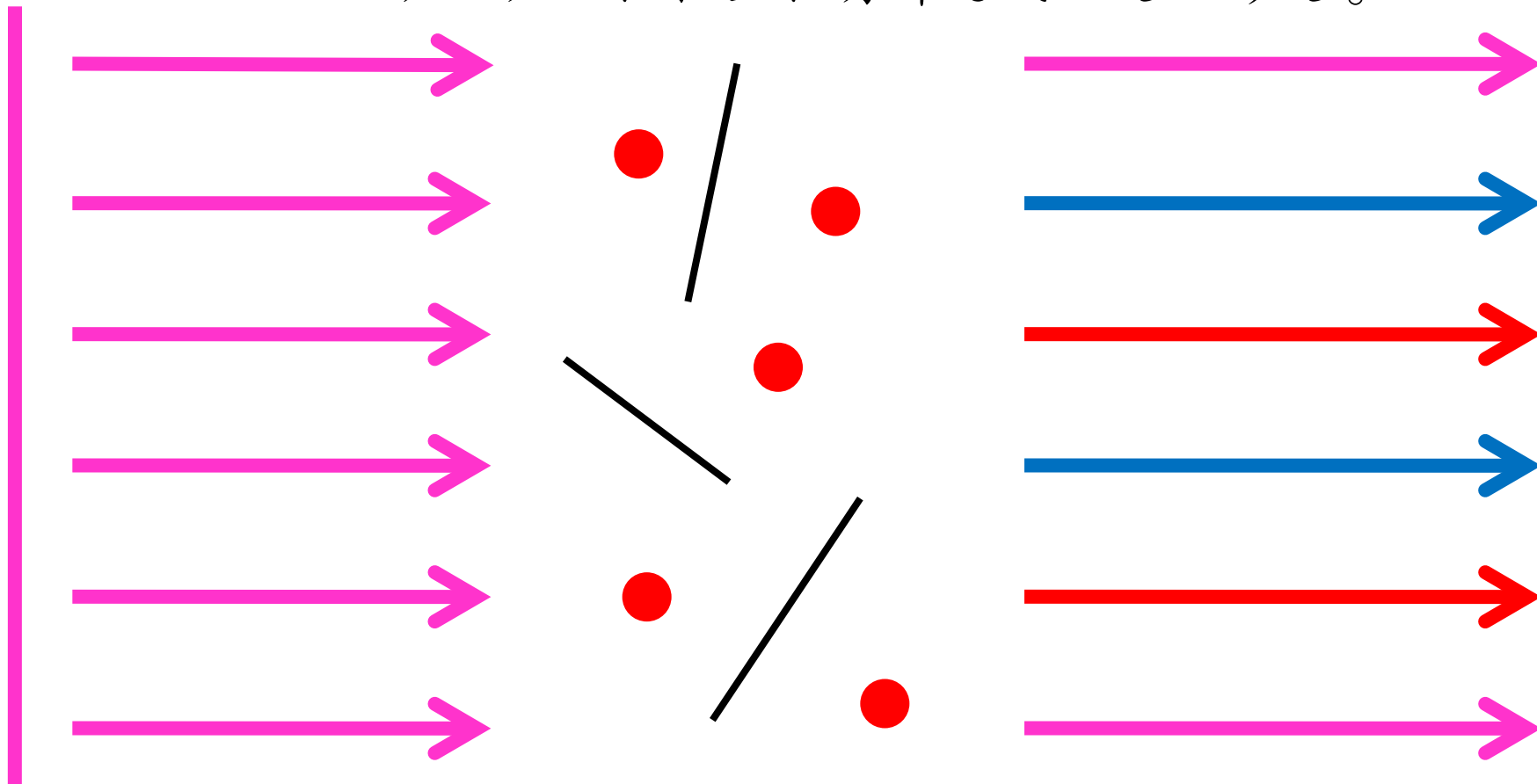
$$\Delta_{\text{kink}} = 4\alpha G \mu \log \frac{\delta}{L_{\text{kink}}}$$

δ : impact parameter
kink付近で対数的に
温度ゆらぎが大きくなる



イメージ

segmentとkinkがhorizon内に $N_{cs} \cdot N_{kink}$ 個ランダムに独立に分布しているとする。



目論見：

segmentの近くを何回も通過 \rightarrow random walk \rightarrow Gaussian
kinkの近くをたまに通過 \rightarrow nonGaussian tail

1 点関数の計算

一般に数密度 n 、断面積 σ の粒子に対する optical depth は

$$\tau = \int n \sigma d\lambda$$

segment を断面積 L^2 の粒子と思うと

$$\tau_{\text{CS}} = \pi N_{\text{CS}} H^2 L_2^2 \log(1 + z_{\text{rec}}) \approx 20$$

となって十分散乱し、random walk となる。分散は

$$\sigma_{\text{Gauss}} = \Delta_{\text{CS}} \sqrt{\tau_{\text{CS}}} \approx 17 G\mu$$

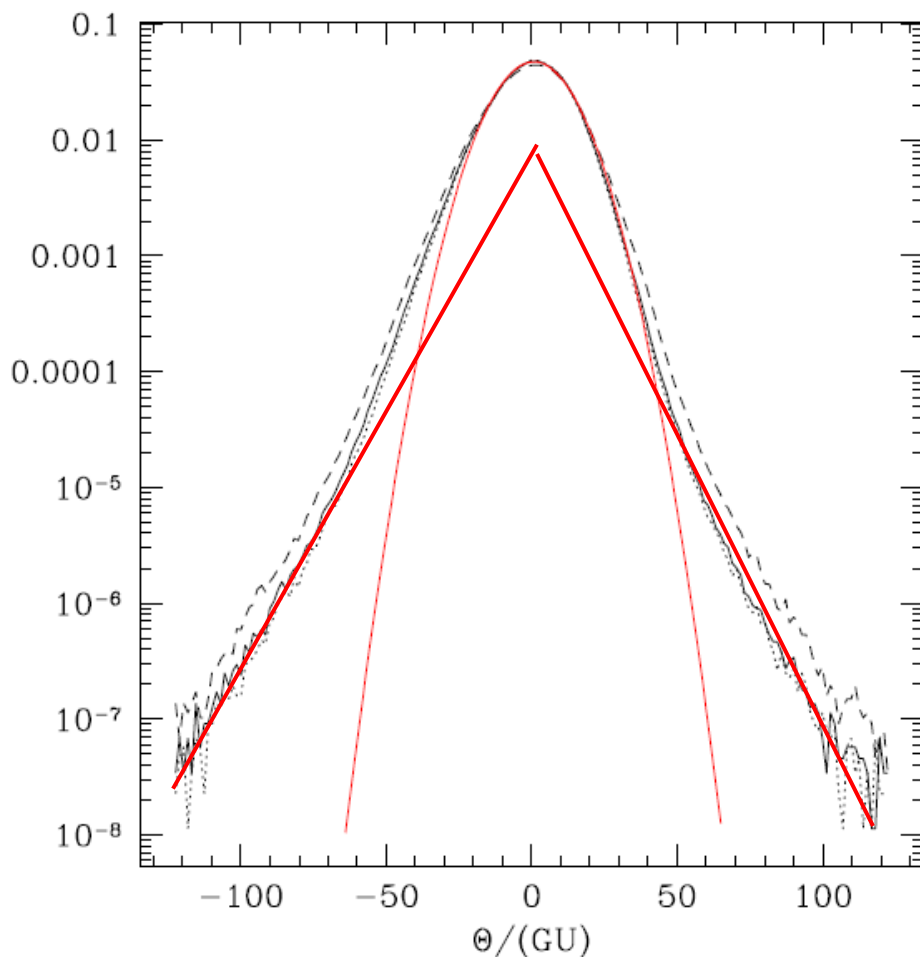
となる。一方 kink の方では次のような tail を得る。

$$P_{\text{kink}}(\Delta) = A e^{-\Delta/\Delta_0}$$

$$A = \frac{\pi N_{\text{CS}}^2 \log(1 + z_{\text{rec}})}{N_{\text{kink}} \Delta_0} \approx 2(G\mu)^{-1}$$

$$\Delta_0 = \frac{2\alpha}{\sqrt{1 - v^2}} G\mu \approx 2.3 G\mu$$

1 点関数の比較



$$P_G(\Delta) = \frac{1}{\sqrt{2\pi}\sigma} \exp\left(-\frac{\Delta^2}{2\sigma^2}\right)$$

$$P_{NG}(\Delta) = Ae^{-\Delta/\Delta_0}$$

$$\sigma_{\text{sim}} \approx (12 - 13)G\mu$$

$$A_{\text{sim}} \approx 0.01(G\mu)^{-1}$$

$$\Delta_{0,\text{sim}} \approx 7.2G\mu$$

$$\sigma_{\text{th}} \approx 17G\mu$$

$$A_{\text{th}} \approx 2(G\mu)^{-1}$$

$$\Delta_{0,\text{th}} \approx 2.3G\mu$$

Gaussian部分はよく合う。
nonGaussianがちょっと・・・。
kinkが効きすぎ。

再結合確率を考慮した発展方程式

$P < 1$ だと衝突してもloopを形成しない確率がある。

segmentのエネルギー密度の発展方程式

$$\frac{d\rho_{\text{CS}}}{dt} = -2H\rho_{\text{CS}} - C \frac{v}{L_1} \rho_{\text{CS}}$$

kink数の発展方程式

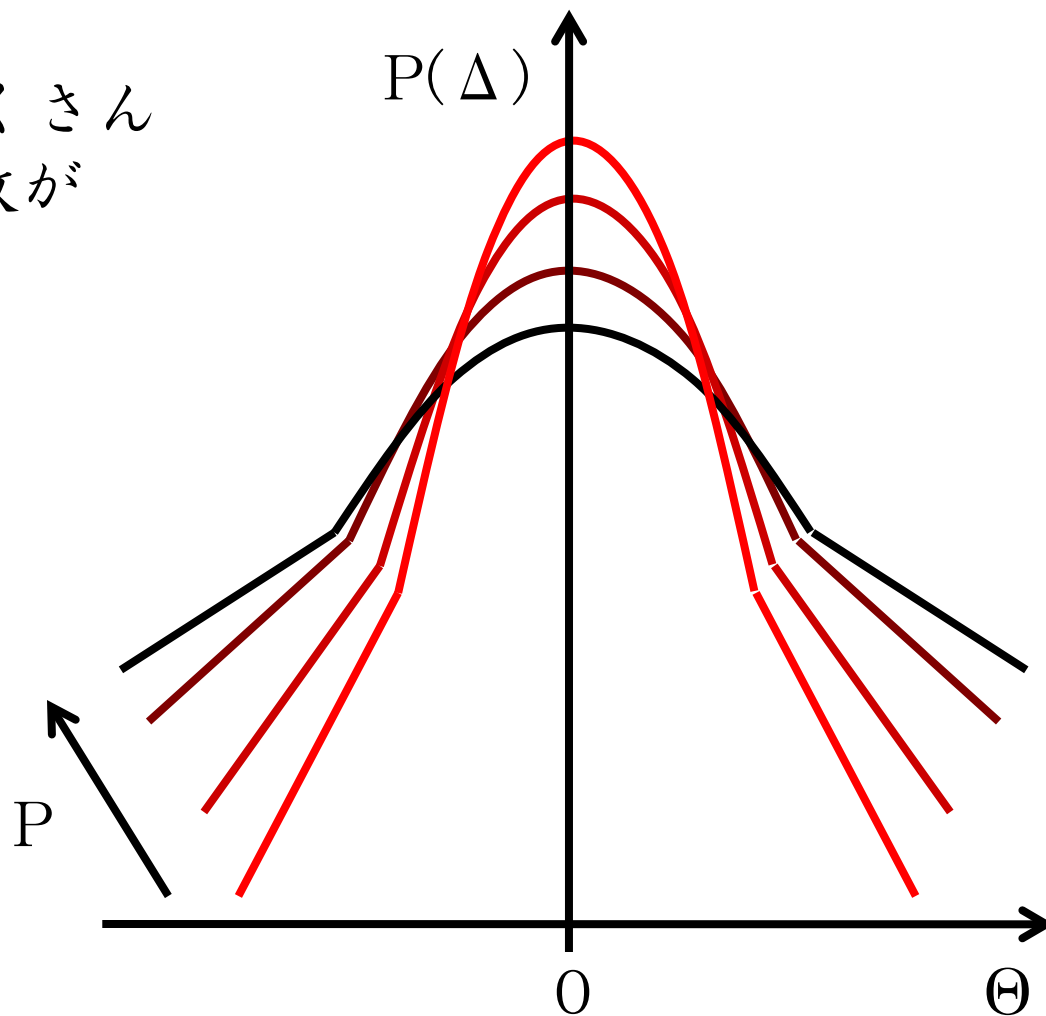
$$\frac{dN_{\text{kink}}}{dt} = \left(2 - \alpha \frac{L_2}{L_3}\right) \frac{v}{L_1} \frac{1}{H^3 L_1^3} - \frac{1}{\tau_{\text{GW}}} N_{\text{kink}} \quad \tau_{\text{GW}} = \Gamma \frac{L_3}{G\mu}$$

C, α, Γ は $P=1$ のものを使うとすると、これを解いて $N_{\text{CS}}(P)$ や $N_{\text{kink}}(P)$ が求まる。

予想

P が小さいとstringがたくさん残るのでGaussianの分散が大きくなりそう。

kinkは？



まとめ

簡単なモデル化でCMBの1点関数を計算。

- ・ Gaussian部分はよく合う
- ・ nonGaussian部分はいまいち
- ・ もう少し考えて合うようになったら $P < 1$ に拡張

その後

- ・ 2点関数も簡単に計算できそう
- ・ ほかにいろいろ

これを書きたい

$\log G_\mu$

